

株大林組土木技術部 正会員 新村 亮
 株大林組土木技術部 正会員 原田 晓
 株大林組技術研究所 正会員 十河茂幸

1. まえがき

高強度軽量コンクリートを使用する構造物はP R C等比較的薄い部材が多い。しかし、高強度および凍結融解抵抗性を満足するためには非常に富配合となり、セメントの水和熱による温度ひびわれの発生が予想される。本報告は高強度軽量コンクリートの温度ひびわれ予測に必要な各種熱特性および高温履歴を受けたコンクリートの性状について検討したものである。

2. 実験概要

2.1 使用材料および配合 セメントは普通ポルトランドセメント、粗骨材は人工軽量粗骨材造粒型絶乾品（最大寸法15mm、絶乾比重1.28）、細骨材は山砂であり、ポゾランとしてシリカフューム(SiO_2 92.6%)、フライアッシュを使用した。混和剤にはナフタリンスルホン酸とリグニンスルホン酸の共縮合物を主成分とする高性能減水剤、流動化剤、特殊アニオン系のA E剤を使用した。コンクリートの配合を表-1に示す。単位結合材量を $563, 400\text{kg/m}^3$ とし、前者においてポゾランの影響を検討した。ポゾランはセメントの内割混入とした。なお、流動化コンクリートとベースコンクリートのスランプは8cm、流動化後のスランプは18cm、空気量は6%とした。

2.2 実験方法 熱伝導率、比熱の測定には気中養生した $30 \times 30 \times 10\text{cm}$ の平板状供試体を用いた。測定方法としては、供試体と熱特性の既知な物質（ポリスチレンフォーム）とで面状発熱体をはさみ、恒温槽内において供試体の温度変化を測定し、熱伝導則から熱伝導率、比熱を算出することとした。断熱温度上昇はコンクリートの温度が断熱温度上昇試験機の測定範囲を越えることが予想されるため、図-1に示すプロックを作成し、温度変化を測定後、3次元FEM温度シミュレーションにより推定した。

3. 実験結果と考察

3.1 熱伝導率・比熱 供試体の 露開気温度を3ケースえた時の熱伝導率、比熱を図-2、3に示す。熱伝導率は普通コンクリート(2~3kcal/mh°C)の半分以下であり、ポゾランを添加することによりさらに小さくなる傾向が見られた。これはポゾラン自体の熱伝導性が低いため等が考えられる。比熱は一般の普通コンクリートとほぼ同等であり、シリカフュームを添加することにより、やや小さくなつた。また、两者ともに露開気温度の影響は認められない。

表-1 コンクリートの配合

| 配合名 | 水結合材比 (%) | 単位結合材量 (kg/m^3) | ポゾランの種類 | シリカフューム置換率 (%) | 細骨材率 s/a (%) |
|------|-----------|----------------------------|---------|----------------|--------------|
| P | 30 | 563 | なし | 0 | 38 |
| SF10 | 30 | 563 | シリカフューム | 10 | 38 |
| SF20 | 30 | 563 | シリカフューム | 20 | 38 |
| F10 | 30 | 563 | フライアッシュ | 10 | 38 |
| P400 | 40 | 400 | なし | 0 | 43 |

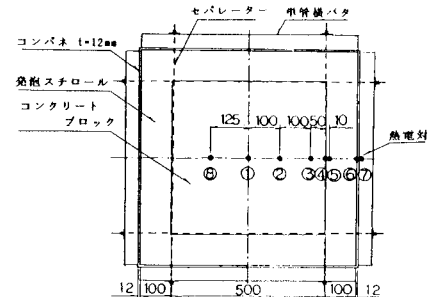


図-1 温度測定用プロック

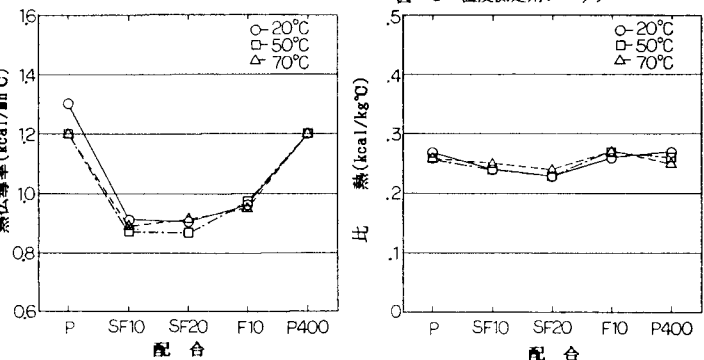


図-2 各配合の熱伝導率

図-3 各配合の比熱

3.2 断熱温度上昇 ブロック中心の温度変化を図-4に示す。単位結合材量563kg/m³の配合では最高温度が97~108°Cに達しており、これに対してP400配合では81°C程度であった。温度シミュレーションにおける断熱温度上昇式には次式を用いた。

$$T = K (1 - e^{-\alpha t^\beta})$$

ただし、Tは断熱温度上昇(°C)、tは材令(日)である。この式を用いた理由は高性能減水剤、流動化剤の多量添加による発熱遅延効果を考慮するためである。温度シミュレーションより求めた各係数を表-2に示す。なお、断熱材の熱伝達率はブロックの温度降下時より0.52kcal/m²h°Cと求められた。P配合に比べP400配合はセメント量を100kg/m³減らしたことにより最終

断熱温度上昇量は約12.5°C低減した。また、セメントをシリカフュームで置換することにより発熱量は減少したが、フライアッシュ置換による発熱量抑制効果は認められなかった。最終断熱温度上昇量Kは打込温度によって変化するため、既往の換算式より打込み温度20°Cの値K'に補正し、これと単位セメント量Wcからセメント10kgあたりの最終断熱温度上昇量(K'/Wc×10)を求める。P400配合では1.69°C、P配合では1.45°Cとなり、単位セメント量が多くなるほど減少する傾向が見られた。また、発熱速度を表すαは単位結合材量が多くなるほど著しく大きくなることが認められた。なお、P400配合については断熱温度上昇試験も実施したが、ブロックの温度シミュレーションより求めた断熱温度上昇式とよく一致している。

3.3 コア強度 ブロックから採取したコア(Φ100×h200)の材令56日における圧縮強度を図-5に示す。単位結合材量563kg/m³の配合のコアは100°C前後の高温を受けているにもかかわらず、コアと同一有効材令、空気量に換算した標準養生供試体強度と比較して、ほぼ同等の強度を有している。しかし、P400配合のコア強度は約20%低下した。これは、水結合材比30%の配合はコンクリート強度が軽量粗骨材強度に強く依存しており、モルタルの強度が若干低下してもコンクリート強度への影響が少ないためと考えられる。なお、コアの静弾性係数は同材令の標準養生供試体の値と比べて3~12%小さくなっている。

4.あとがき

高強度軽量コンクリートの熱特性、ポジランと熱特性との関係、および100°C程度の高温履歴を受けたコンクリートの性状について有用なデータ得ることができた。これらのデータによって高強度軽量コンクリートの温度応力予測がほぼ可能となったものと思われる。

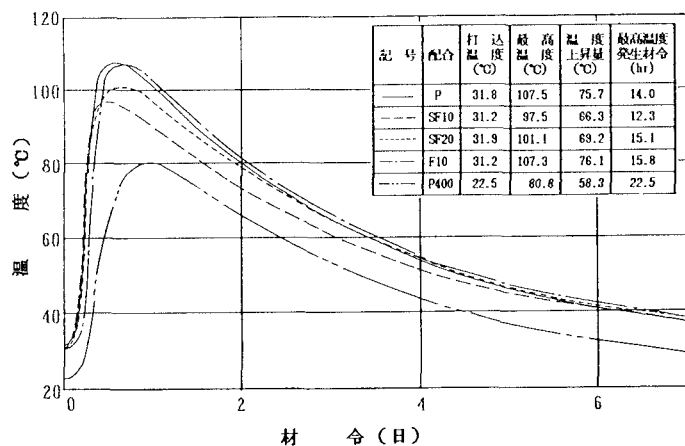


図-4 ブロック中心温度

表-2 断熱温度上昇式の係数

| 配合 | K | α | β |
|-------------|------|----------|---------|
| P | 79.2 | 32.6 | 3.5 |
| SF10 | 68.5 | 80.0 | 3.7 |
| SF20 | 74.0 | 14.7 | 2.7 |
| F10 | 79.0 | 24.2 | 3.6 |
| P400 | 67.5 | 3.8 | 2.4 |
| 断熱温度上昇試験結果* | | | |
| | 67.2 | 2.2 | 2.5 |

*打込み温度15.3°C

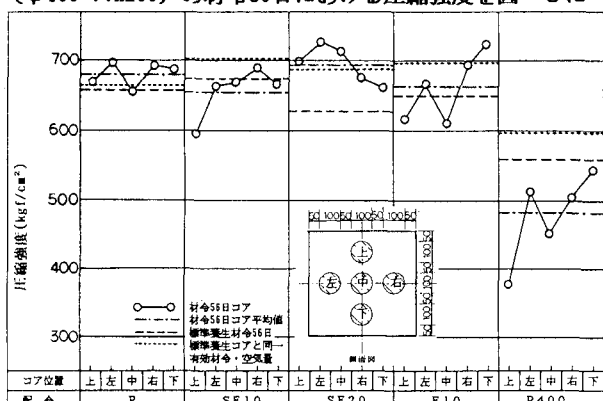


図-5 ブロックコア圧縮強度